

世界第一部揭示市场内在运行规律的专著

# 万能测顶底宝典

股票、期货、外汇市场  
内在运行规律突破性的发现

肖卿灿 著

$$1558.95 + (1558.95 - 104.96) \times \pi = 6126$$

$$1341.05 \times 1756.18 \div 1047.83 = 2247$$

2245.44

$$386.85^2 \div 95.79 = 1562$$

1558.95

1756.18

1341.05

1307

998

$$\sqrt{1025 \times 1756} = 1341$$

$$1341 \times 1307 \div 1756 = 998$$

386.85  
104.96

6124

6000

5500

5000

4500

4000

3500

3000

2500

2000

1500

1000

500

季度

1990

1992

1993

1994

1995

1996

1997

1998

1999

2000

2001

2002

2003

2004

2005

2006

2007



经济科学出版社  
Economic Science Press

本书由广州大学著作出版基金提供资助

世界第一部揭示市场内在运行规律的专著——  
股票、期货、外汇市场内在运行规律突破性的发现

# 万能测顶底宝典

肖卿灿 著

经济科学出版社

Economic Science Press

图书在版编目 (CIP) 数据

万能测顶底宝典/肖卿灿著. —北京: 经济科学出版社,  
2008. 8  
ISBN 978 - 7 - 5058 - 7413 - 8

I. 万… II. 肖… III. ①股票—基本知识②期货—基本  
知识③外汇市场—基本知识 IV. F830. 9

中国版本图书馆 CIP 数据核字 (2008) 第 115881 号

责任编辑: 卢元孝  
责任校对: 徐领柱  
版式设计: 代小卫  
技术编辑: 潘泽新

万能测顶底宝典

肖卿灿 著

经济科学出版社出版、发行 新华书店经销

社址: 北京市海淀区阜成路甲 28 号 邮编: 100142

总编室电话: 88191217 发行部电话: 88191540

网址: [www. esp. com. cn](http://www.esp.com.cn)

电子邮件: [esp@esp.com.cn](mailto:esp@esp.com.cn)

汉德鼎印刷厂印刷

华丰装订厂装订

787 × 1092 16 开 21 印张 380000 字

2008 年 8 月第 1 版 2008 年 8 月第 1 次印刷

ISBN 978 - 7 - 5058 - 7413 - 8/F · 6664 定价: 48.00 元

(图书出现印装问题, 本社负责调换)

(版权所有 翻印必究)

## 前 言

世界是物质的，物质是运动的，运动是有规律的。宇宙五大定律实际上是人类的五大思维方式和观察事物的视角，是人类原始创新思维的时空谱。第一宇宙定律是通过对勾股定理的描述来说明影响人们思维方法的平直时空观；第二宇宙定律是牛顿的绝对时空理论，即牛顿的万有引力和运动三定律；第三宇宙定律阐述的是爱因斯坦的相对论理论所带来的弯曲时空观；第四宇宙定律是热力学第二定律，描述了热不可能自发地、不付代价地从低温传到高温（使热量由低温物体传递到高温物体只有依靠消耗功来实现，例如冰箱）或等价于具有方向不可逆的时空观；第五宇宙定律描述的是混沌与分形理论所带来的破碎分形时空观。

质量和能量是物质世界运动的两种表现形式。质量和能量是可以互相转换的，著名的物理学家爱因斯坦在 20 世纪初给出了质能方程： $E = \frac{mc^2}{2}$ （其中， $c$  为光速， $m$  为质量， $E$  为能量）。波峰（波谷）出现的价位和时间是经济市场中两个不同的表现方式，它们之间在形式上存在着类似质量和能量的关系，有着统一的表达形式。

1742 年，德国数学家哥德巴赫提出了著名的哥德巴赫猜想，即“任何一个大于 2 的偶数都可以表示成两个素数之和”。1966 年中国数学家陈景润给出了目前世界上最好的结果，即任何一个大偶数都可以表示成一个素数加上不超过两个素数之积，这就是著名的“1+2”命题。在经济学中，也存在着类似“1+2”命题的时间和价位的公理化体系。

《证券市场周刊》2002 年第 40 期介绍了笔者所提出的波峰、波谷公理，即：

任何一个波峰（波谷）在允许的误差范围内都可以由不多于三个波峰、波谷经过乘法（平方）和除法（开平方）运算得到。

质量和能量是物质世界中的统一体，波峰（波谷）出现的价位和时间也是互为统一、相互联系的，存在着相同的表现形式。下面给出周期公理：

任何一个波峰（波谷）出现的时间在允许的误差范围内都可以由不多于三

个波峰（波谷）出现的时间经过乘法（平方）和除法（开平方）运算得到（为了做到形式上的统一，其中开平方运算只是为了验证中间某一时间坐标为其前后各一时间坐标的几何平均值，而非预测之用）。

在原油市场上我们找到了类似哥德巴赫猜想的例子。进一步研究还发现波峰（波谷）出现的时间和点位与圆周率  $\pi$  有关。

表示法理论可分为几何表示法、指数表示法、线性表示法、简单数列表示法等几种。

笔者从1994年初开始研究日元及沪深股市走势，1996年便有所收获，发表了《股市的可测性》一文，1996年完成了表法理论的大部分内容，1997年1月委托同事带往香港，由于20世纪90年代正时兴定性分析，公理化体系及定量分析因超前而未引起重视。1998年笔者把这一研究成果公布在网上，1999年“5·19”行情前后在沪深股市上得了充分验证，其中万能测顶公式发挥出巨大威力。此后笔者在各大股市BBS网站（山网、洛阳股市大家谈等）上发表文章一千多篇，访问量一百多万次，其中《多目标规划挣钱的唯一利器》一文引起了强烈的反响。笔者也曾在洛阳股市大家谈和 [www.100cn.net](http://www.100cn.net) 上发帖，准确地预测出香港恒生指数1998年的底部和2000年的顶部及沪市2001年的顶部。2001年6月笔者在 [www.100cn.net](http://www.100cn.net) 和 [www.szonline.net](http://www.szonline.net) 等BBS上发帖，预测日经指数会跌至7600点附近，Nasdaq（纳斯达克）指数会跌至1100点附近。事实上，日经指数从1989年12月29日的38957.44点开始一路下跌至2003年4月28日的7603.76点，Nasdaq指数从2000年3月10日的5132.52点跌至2002年10月10日的1108.49点。深圳分析家公司等曾慕名前来拜访，《证券市场周刊》也给予了高度评价。同时，笔者还收到了很多银行、证券部以及证券投资者的来函。

本书采用理论与实证相结合的方法，从实践中来到实践去，不断完善，从而建立起市场之表示法理论，该理论已被市场证明是行之有效的预测方法。本书的最大特点是完全采用定量分析，在全民炒股的时代，在中国内地即将推出股指期货之际，希望能起到抛砖引玉的作用。

肖柳灿

2008年5月8日

于广州大学金融模拟实验室

# 目 录

<b>第一章 指数篇</b>	/	<b>1</b>	
1.1 股市的可测性	/	3	
1.2 宇宙历法	/	13	
1.3 时间表示法	/	30	
1.4 介绍一种误差仅2%的股市预测方法	/	38	
1.5 买卖信号	/	45	
1.6 公理化体系	/	48	
1.7 圆周率与三波原理	/	66	
1.8 几何图形的突破	/	76	
1.9 上证指数之对称问题	/	88	
1.10 交错原理	/	93	
1.11 不动点原理	/	96	
1.12 万能测底公式	/	99	
1.13 万能测顶公式	/	102	
1.14 圆周率与沪深指数	/	107	
<b>第二章 股市篇</b>	/	<b>117</b>	
2.1 万能测底(顶)公式 赚钱的利器	/	119	
2.2 不动点原理应用	/	124	
2.3 万能测底(顶)公式实例详解	/	127	
2.4 等差数列方法	/	139	
2.5 等比数列方法	/	142	
2.6 三波原理应用	/	144	
2.7 波段理论	/	157	
2.8 圆周率与个股	/	163	

2.9	指数表示法	/	174
2.10	权证探索	/	187
<b>第三章 商品期货</b> / 195			
3.1	几何—算术平均值原理	/	197
3.2	能源危机问题	/	199
3.3	原材料涨价问题	/	205
3.4	金属锌	/	208
3.5	黄金市场	/	215
3.6	橡胶	/	226
3.7	白糖	/	233
3.8	粮食期货	/	243
<b>第四章 外汇市场</b> / 255			
4.1	人民币升值问题	/	257
4.2	美元指数初探	/	264
4.3	欧元初探	/	273
4.4	英镑初探	/	286
4.5	瑞郎	/	293
4.6	EUR/JPY	/	296
4.7	GBP/JPY	/	298
4.8	加拿大元	/	304
4.9	澳元	/	308
4.10	纽元	/	312
<b>附录 体上非线性递推序列</b> / 318			
<b>参考文献</b> / 327			

# 第一章

## 指数篇

自然界和社会本身有其自身的运行规律，股市也不例外，正像热力学第二定律一样，股市确实存在和结构无关的规律。





## 1.1 股市的可测性

朋友，当你打开上证指数 1990 年以来的走势图（图 1.1.1）时，你发现了什么？你是否认为这一切都是偶然的巧合？下面让我们一起来探讨吧！



图 1.1.1

上证指数在击穿 1 341.05、1 311.68 与 1 307.4 三点的连线后，下挫至 998.22，998.22 可由 1999 年 12 月 27 日的循环低点 1 341.05、2003 年 11 月 13 日的循环低点 1 307.4 及 1999 年 6 月 30 日的循环高点 1 756.18 近似地表出 ( $1\ 341.05 \times 1\ 307.4 \div 1\ 756.18 = 998.35$ )；1999 年 12 月 27 日循环低点 1 341.05 可由 1997 年 9 月 23 日的循环低点 1 025.13 和 1999 年 6 月 30 日的循环高点 1 756.18 表出 ( $\sqrt{1\ 025.13 \times 1\ 756.18} = 1\ 341$ )；上证指数在升破 1 558.95 和 1 510.18 两点连线后，上升至 2 245.44，2 245.44 可由 1993 年 2 月 16 日的循环高点 1 558.95、1997 年 5 月 12 日的循环高点 1 510.18 及 1999 年“5·19”行情的起点 1 047.83 近似地表出 ( $1\ 558.95 \times 1\ 510.18 \div 1\ 047.83 = 2\ 246.8$ )。我们选取 1994 年的最低点 325.92 和 1996 年“12·16”《人民日报》

特约评论员文章之后于同年12月25日创下的循环低点855.85及1999年“5·19”行情的起点1047.83，我们发现2001年的最高点2245.44显然受阻于2247 $[=855.85^2 \div 325.92 = 1341.05 \times 1756.18 \div 1047.83]$ 。我们验证过深沪综合指数1994年7月至今所有中级循环高低点，发现都有类似的性质，现以1990年12月19日（星期三）95.79点之前一周为坐标原点，建立平面直角坐标系，1990年12月21日（星期五）的收市价为第1周的收市价，则第一周的空间坐标为（1，（96.05，109.13，95.79，109.13）），以交易周为时间单位，我们发现波峰（波谷）出现的时间也有类似的性质。下面就让我们先从10年前的一篇文章谈起吧！

## 股市的可测性

当我们经历了许多难以想象与预测的经济景气变化，诸如经济萧条、大战以及战后重建、经济繁荣以及社会主义“投资饥饿症”和新一轮经济腾飞等，我们发现波动理论和现实经济的发展脉动之间竟是如此的相互契合。本文通过运用计算机对深沪股市长达6年的<sup>①</sup>统计资料进行20多项技术分析；运用波动理论、循环理论结合量化分析在电脑上进行模拟、试算，从中提炼出简单易行的测市方法。通过构造高低点预测函数，精确地预测出深市1994年、1995年、1996年的循环高低点以及沪市的循环高点。根据伯恩斯坦循环周期理论，通过建立时间预测函数，准确地预测出沪市1258点出现的时间。利用公式

$$J = \frac{C - L}{H - L} \times 100 \quad (1)$$

其中：H——表示5周内的最高指数；

L——表示5周内的最低指数；

C——当周收市时的指数。

计算周J值，通过观察发现J值在98.0以上构筑双顶或者J值在97.5以上且乖离率（当周最高指数与五周移动平均线之乖离率）BIASH5大于20%时，至少提前一个交易日发出出货信号（自从沪市放开股价之后的每次中级行情即将见顶前都如此）。应用J值发出买卖信号，利用时间预测函数预测循环高低点可能出现的时间以及利用高低点预测函数预测高低点，这三者相互结合便构成行

<sup>①</sup> 本数据取自汇金股票软件系统。

之有效的测市方法。这种方法也可以推广到其他投机市场上。

朋友，当你打开深圳股市综合指数 1991 年至今的走势图时，你发现了什么？你是否认为这一切都是偶然的巧合？下面让我们一起来探讨吧！

首先我们选取深市的两个低点。

- (1) 历史最低点 45 点 (1991 年 9 月 6 日 45.6385 点)；
- (2) 1993 年最低点 194 点 (1993 年 7 月 20 日 194.07 点)。

接着让我们选取深市的四个循环高点。

- (1) 1992 年最高点 312 点 (1992 年 5 月 27 日 312.20 点)；
- (2) 1993 年最高点 368 点 (1993 年 2 月 22 日 368.84 点)；
- (3) 循环高点 334 点 (1993 年 8 月 17 日 334.67 点)；
- (4) 循环高点 280 点 (1993 年 11 月 22 日 280.25 点)。

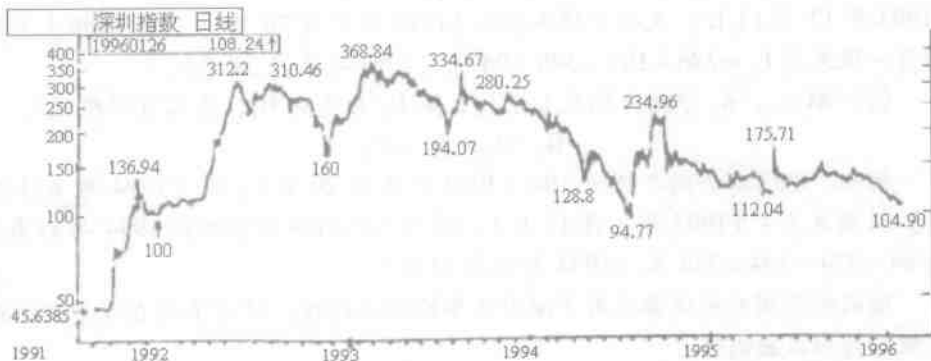


图 1 深圳股市综合指数走势

(1991 年 9 月 6 日至 1996 年 1 月 26 日)

我们发现： $280 \times (194 \div 334)^2 = 94.46$  (1994 年 7 月 29 日 94.77 点)； $280.25^2 \div 334.67 = 234.68$  (1994 年 9 月 13 日 234.96 点)； $194.07^2 \div 334.67 = 112.5$  (1995 年 4 月 27 日 112.04 点)； $312.2 \times (194.07 \div 334.67)^2 = 104.98$  (1996 年 1 月 23 日 104.90 点)， $334.67^2 \div 234.96 = 476.69$  (1996 年 12 月 12 日 476.7 点)。

对于沪市我们同样有

$$\sqrt{774.54 \times 1429.01} = 1052.057 \text{ (1994 年 9 月 13 日 1052.5 点)}$$

$1558.95 \times 325.92 \div 548.21 = 926.82$  (1995 年“5·18”行情最低点为 926.41 点)

$$\sqrt{512.83 \times 1558.95} = 894.13 \text{ (1996 年 8 月 12 日 894.86 点)}$$

1 052.5 × 926.41 ÷ 774.54 = 1 258.87 (1996年12月11日1 258.69点)

### 一、高低点的预测

设  $A_1$ 、 $A_2$ 、 $B_1$  为表达式，定义运算  $R$  和它的逆运算  $S$ ，此两运算适合结合律，定义预测式

$$B_2 = A_2 R B_1 S A_1 \quad (2)$$

其中  $A_1$ 、 $A_2$  同时为循环高低点。

1. 首先我们取  $R$  为“加法”运算， $S$  为“减法”运算：

(1) 取  $A_1$ 、 $A_2$  分别为高点  $H_1$ 、 $H_2$ ，取  $B_1$  为低点  $L_1$ ，则利用 (2) 式可预测第二个低点  $L_2$

$$L_2 = H_2 + L_1 - H_1$$

例如，取1993年深证指数的两个高点368（1993年2月22日）、268（1993年12月13日）及一个低点194（1993年7月20日），即可利用上式预测另一低点为  $L_2 = 268 + 194 - 368 = 94$  点（1994年7月29日）。

(2) 取  $A_1$ 、 $A_2$  分别为低点  $L_1$ 、 $L_2$ ，取  $B_1$  为高点  $H_1$ ，类似可得预测式

$$H_2 = L_2 + H_1 - L_1$$

例如，取深市的两个低点194（1993年7月20日）、94（1994年7月29日）及高点334（1993年8月17日），利用上式同样可预测出1994年的高点为  $94 + 334 - 194 = 234$  点（1994年9月13日）。

这两种预测方法通常应用于深沪股市的次级行情，读者不妨在深沪股市的次级行情中找出例证。

下面让我们以深市1994年的最低点为对称点，通过观察深圳股市综合指数1991年至今的走势，我们发现，深圳股市的循环高低点之间存在着一定的对称关系。例如，以334点和1994年的最低点为基准点，1993年最低点对应1994年最高点（前面已算出它们之间的量化关系）、高点280（1993年11月22日）对应1995年的最低点112（1995年4月27日）、1996年最低点对应1996年的最高点；取深市1993年最高点和1994年的最低点为基准点，则深市历史最低点对应1995年最高点、1993年8月17日的循环高点对应1996年的最低点、1994年的循环低点128.8对应1996年7月底的循环高点。这些对称点之间存在着微妙的量化关系，它们和预测式 (2) 竟如此契合，真是让人信服。下面我们利用 (2) 式给出它们之间的量化关系（其中1993年最低点的对称点前面已给出量化关系）。

2. 设  $R$  为“乘法”运算， $S$  为“除法”运算。仿前我们同样有

$$L_2 = H_2 \times L_1 / H_1 \quad (3)$$

$$H_2 = L_2 \times H_1 / L_1 \quad (4)$$

利用 (3) 和 (4) 式我们有  $112.13 = 334 \times 94 \div 280$  (1995 年 4 月 27 日 112.04 点, 另外  $280 \times 94 \div 234 = 112.46$ );  $45 \times 368 \div 94 = 176.17$  (1995 年 5 月 22 日 175.71 点);  $368.84 \times 94.77 \div 334.67 = 104.45$  (1996 年 1 月 23 日 104.90 点, 另外  $310.46 \times 94.77 \div 280.25 = 104.99$ );  $368.84 \times 94.77 \div 128.8 = 271.39$  (1996 年 7 月 30 日 271.54 点)

此外, 1992 年的低点分别和 1994 年、1996 年的低点及 1996 年的高点之间也存在量化关系, 读者可以自行研究。前面例子中有两例是利用 (2) 式通过复合运算得到的, (2) 式是抽象的运算式, 有兴趣的读者可以把  $R$  和  $S$  定义为其他运算, 也可去掉结合律, 运算按自右向左法则进行, 拓广定义, 自行研究深沪股市高低点的关系。具体做法是: 设  $A_1$ 、 $A_2$ 、 $B_1$  为表达式, 定义两种运算  $R$  和  $S$ , 定义预测式

$$B_2 = A_2 R(B_1 S A_1) \quad (2)'$$

例如, ①取  $A_2$  为常数  $\alpha$ , 定义  $HSL = H - L$ ,  $R$  为通常的“乘法”运算, 则由 (2)' 式我们可以得反弹或回档预测式

$$B_2 = \alpha(H - L)$$

②取  $A_1$  为常数  $\alpha$ ,  $A_2 = L$ ,  $B_1 = H - L$ , 定义  $R$  为“加法”运算,  $S$  为“乘法”运算, 则由 (2)' 式我们可得, 上升或下跌目标价位预测式

$$B_2 = (1 - \alpha)L + \alpha H \quad (5)$$

③定义  $BSA = (B/A)^2$ ,  $R$  为“乘法”运算, 则此时 (2)' 式成为预测式

$$B_2 = A_2 (B/A)^2$$

④取  $A_2$  为常数 100,  $B_1 = C - L$ ,  $A_1 = H - L$ , 定义  $R$  为“乘法”运算,  $S$  为它的逆运算, 则由 (2)' 我们可得预测式 (1)。

⑤定义  $nR\epsilon = 19n + 5(1 - (-1)^n)/2 + \epsilon_n$ ,  $\epsilon S A_1 = \epsilon$ , 以  $B_1 = \epsilon$ 、 $A_2 = n$  代入 (2)' 式, 则我们可以得下面关于时间的预测函数 (6) 式。

可见, 预测式 (2)' 是高度抽象的预测式, 包括了本文的全部预测式。

表 1 上证指数中级循环高低点出现的时间、预测值及误差值

单位: 周

日期	指数	时间	$t(n) - \epsilon_n$	误差	n 值	时间表示法
19901219	95.79				0	
19910114	135.19	5		次高		

日期	指数	时间	$t(n) - e_n$	误差	n 值	时间表示法
19910517	104.96	22	24	-2	低 1	
19910917	191.18	40	38	2	次高 2	
19911003	179.80	42*			次低	
19920225	357.07	63	62	1	次低 3	
19920526	1 429.01	76	76	0	高 4	$40 \times 42 \div 22 = 76.36$
19921120	386.85	101	100	1	低 5	$63^2 \div 40 = 99.225$
19930216	1 558.95	114	114	0	高 6	$76 \times 63 \div 42 = 114$
19930727	777.73	137	138	-1	低 7	$76^2 \div 42 = 137.52$
19930817	1 042.47	140	138	2	次高 7	$76 \times 40 \div 22 = 138.18$
19931025	774.54	150	152	-2	低 8	$101 \times 114 \div 76 = 151.5$
19931208	1 044.85	156*	$156 - 114 = 42$		次高	$137 \times 114 \div 101 = 154.63$
19940421	536.33	174	176	-2	次低 9	$156 \times 114 \div 101 = 176.079$
19940729	325.92	188	190	-2	低 10	$156 \times 137 \div 114 = 187.47$
19940913	1 052.5	195*	$195 - 114 = 81$		高	$188 \times 156 \div 150 = 195.52$
19950207	524.34	215	214	1	低 11	$156 \times 140 \div 101 = 216.238$
19950427	548.21	226	228	-2	次低 12	$195 \times 174 \div 150 = 226.2$
19950522	926.41	230	228	2	高 12	$215 \times 150 \div 140 = 230.35$
19950912	792.54	246*	$246 - 156 = 90$		次高	$230^2 \div 215 = 246.047$
19951025	765.48	252	252	0	次高 13	$188^2 \div 140 = 252.45$
19960119	512.83	264	266	-2	低 14	$140 \times 215 \div 114 = 264.03$
19960812	894.86	292	290	2	次高 15	$226 \times 252 \div 195 = 292.06$
19961029	1 038.81	303	304	-1	次高 16	$264^2 \div 230 = 303.03$
19961106	896.88	304	304	0	次低 16	$230^2 \div 174 = 304.02$
19961211	1 258.69	309*	$309 - 264 = 45$		高	$226 \times 156 \div 114 = 309.26$

注：表中标有\*的表示由江恩理论预测的时间 [不包括在 (1) 式的预测范围内]。

进一步研究我们还发现，以交易周为时间单位，从 1993 年 7 月至 1996 年 12 月间的波峰（波谷）出现的时间也有类似的性质。

## 二、时间之窗

月有圆缺，年有四季，这些均为自然界的循环周期。“分久必合，合久必分”亦被我国古代统治者奉为经典。当我们抱怨三年熊市的时候，是否想起会有深市成指 924 点过关斩将直冲 6 103 点的豪气呢？循环理论代表事物重复出现的周期，大部分事物均会倾向于依照长短差不多一致的期间，一再露面。而

循环理论测市系统就要建立在此基础上侧重时间分析,从周期的长度的长短去推测股价循环高点或者股价循环低点(时间之窗)可能出现的日期,从而制定买卖策略。下面以沪市为例,说明之:

沪市的基本周期为38周(12 $\pi$ )。现以1990年12月19日(星期三)95.79点为时间起点,1990年12月21日(星期五)的收市价为第1周的收市价。根据伯恩斯坦循环周期理论,利用电脑对沪市至今的资料进行分析,计算得出沪市大部分中级循环高点低点出现的时间均适合如下预测函数(参看周线组合图2)

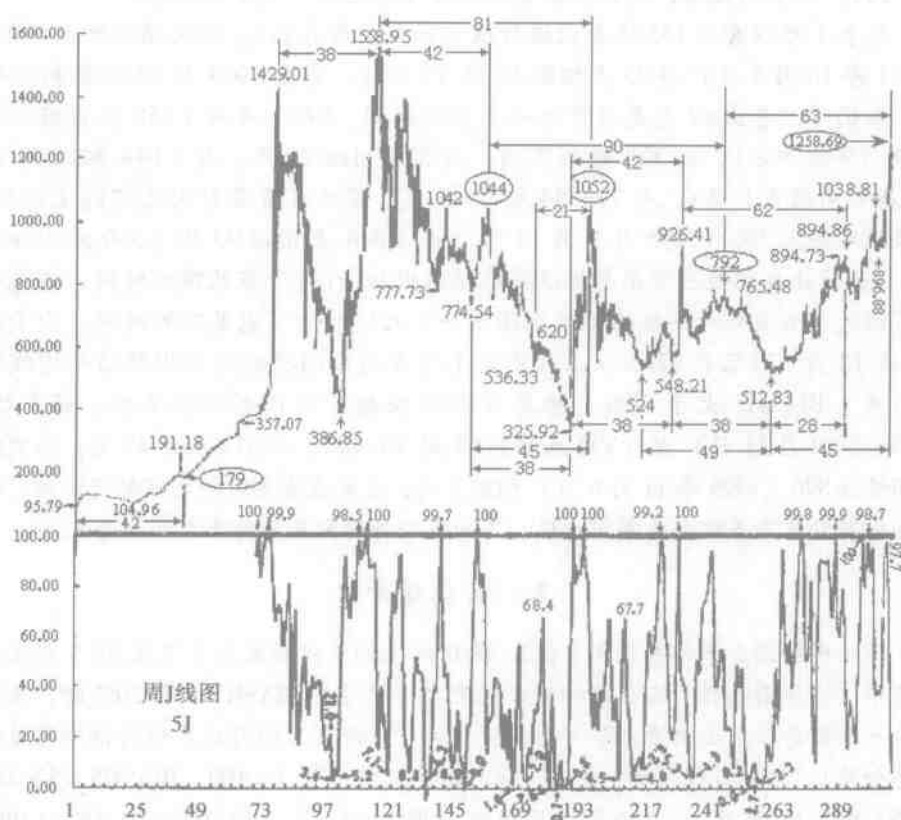


图2 上证指数周线组合图  
(1990年12月19日至1996年12月20日)

$$t(n) = 19n + 5(1 - (-1)^n)/2 + \varepsilon_n \quad (6)$$

其中  $n$  为非负整数,  $-2 \leq \varepsilon_n \leq 2$ ,  $\varepsilon_n$  为误差值。

从表1和图2可以看出沪市所有中级循环的低点出现的时间均适合(6)



式 ( $-2 \leq \varepsilon_n \leq 1$ )，所有中级行情的循环高点出现的时间（除 1993 年 12 月 8 日 1044 点和 1994 年 9 月 13 日 1052 点及 1996 年 12 月 11 日 1258 点外）均适合 (6) 式 ( $-1 \leq \varepsilon_n \leq 2$ )。下面讨论如何解决这些例外点。就让我们利用 Fibonacci 数字（奇异数）和江恩的周期理论来预测吧！江恩认为循环周期一般为 7 或 9 的倍数，特别是  $7^2$  和  $9^2$  及 360 的等分点，还有形如  $k(k-1)$ （它是 7 或 9 的倍数）的数（图 2 画圈的数）。

首先观察它们是否是 Fibonacci 数列 1, 1, 2, 3, 5, 8, 13, 21, 34, 55, 89, 144, … 中的数字，其次观察它们是否是江恩数 7 或 9 的倍数。

从表 1 可以看出 135 点是次级行情（而 5 为奇异数），次级循环低点 179.8（1991 年 10 月 3 日）与 95 点相距 42 周 ( $7 \times 6$ )，高点 1044 与 1558 也相距 42 周，我们可以看出 42 也是沪市的一个重要周期。1052 点与 1558 点正好相距 81 周 (9 的平方)，与 325 相距 7 周，与 536 相距 21 周，与 1044 相距 39 周（比基本周期多 1 周），与 774.54 相距 45 周，是处在重要时间之窗的交汇处。次级循环高点 792（1995 年 9 月 12 日）与 1044 点相距 90 周（360 的四分之一）。最后让我们谈一下是怎样准确地预测出 96 行情沪市见顶的时间，首先利用下面关于买卖信号的发出粗略地预测一下此轮行情可能见顶的时间。由于周 J 值在 12 月 6 日已在 97.5 以上且乖离率（当周最高指数与五周移动平均线之乖离率）BIASH5 大于 20%，根据以往的经验可知顶部即将来临，而 1258（1996 年 12 月 11 日）点与 792 点相距 63 周 ( $7 \times 9$ )，与 512 相距 45 周，与次级循环低点 896（1996 年 11 月 6 日）相距 5 周，是处在重要时间之窗的交汇处，由此我们断定此高点就在此期间出现。下面我们将用更充分的理由加以论证。

### 三、买卖信号

通过观察图 2 我们发现周 J 值在 98.0 以上构筑双顶或者 J 值在 97.5 以上且乖离率（当周最高指数与五周移动平均线之乖离率）BIASH5 大于 20% 时，至少提前一个交易日发出出货信号（自从沪市放开股价之后的每次中级行情即将见顶前都如此）。结合日线图我们发现“5·18”行情当周  $J=100$ 、BIASH5 = 32.4%（1995 年 5 月 19 日），本轮行情见顶前一周  $J=97.7$ 、BIASH5 = 20.4%（1996 年 12 月 6 日）；自从 1993 年下半年以来周 J 值在 99.0 以上构筑双顶时，第二周的第一个交易日即在 869.00 点上方出现跳空缺口，其中 1993 年 11 月 19 日（5 周）和 1995 年 5 月 22 日（1 天）分别在 870 点以上形成孤立岛，此 4 次行情不久就见顶（详见图 2）。同时我们还发现周 J 值构筑双顶后，在周线图上出现第一根阴线时，此阴线的顶部几乎为该轮行情的顶部。

通过观察图 2 我们发现周 J 值在 9.0 以下构筑双底且颈线位在 20 以下（或